

FIG. 1

2/26

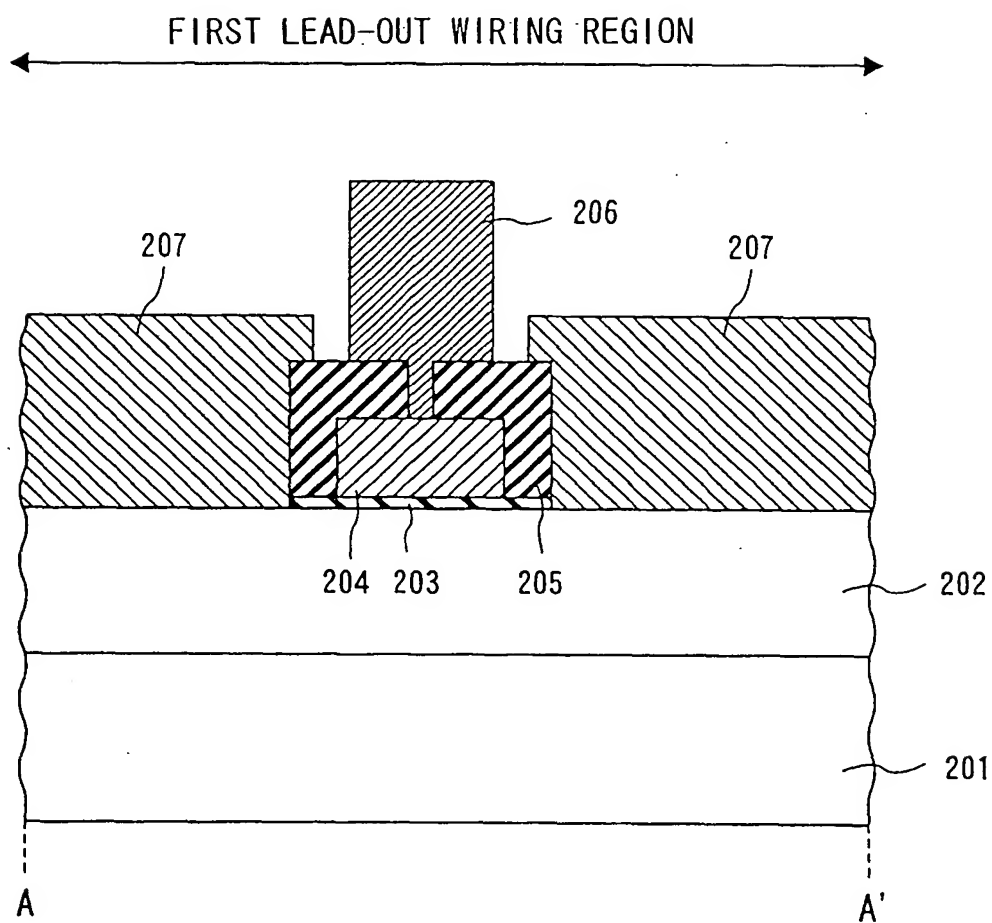


FIG. 2

3/26

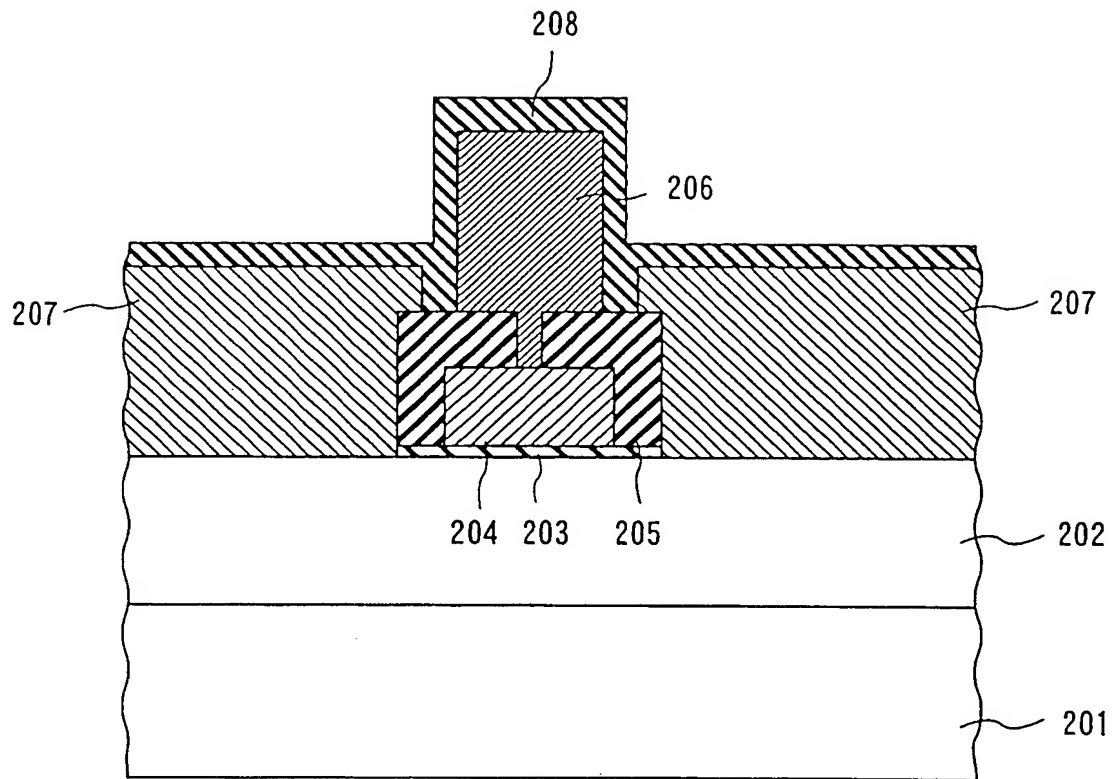


FIG. 3

4/26

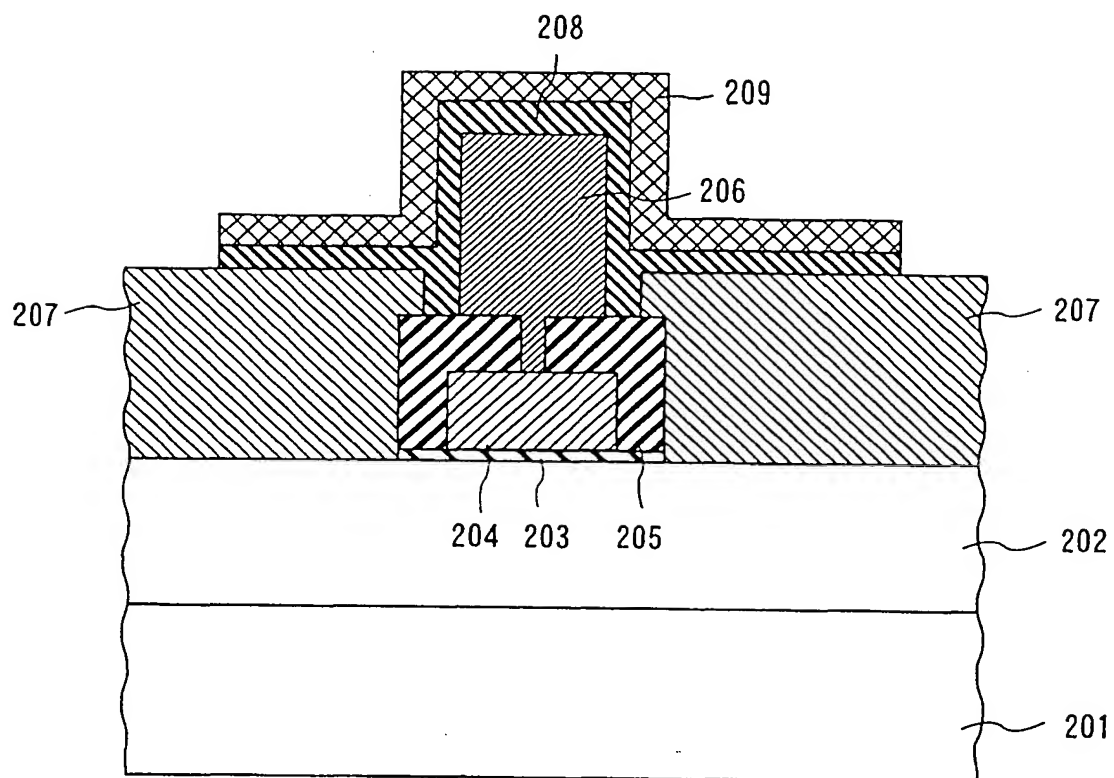


FIG. 4

5/26

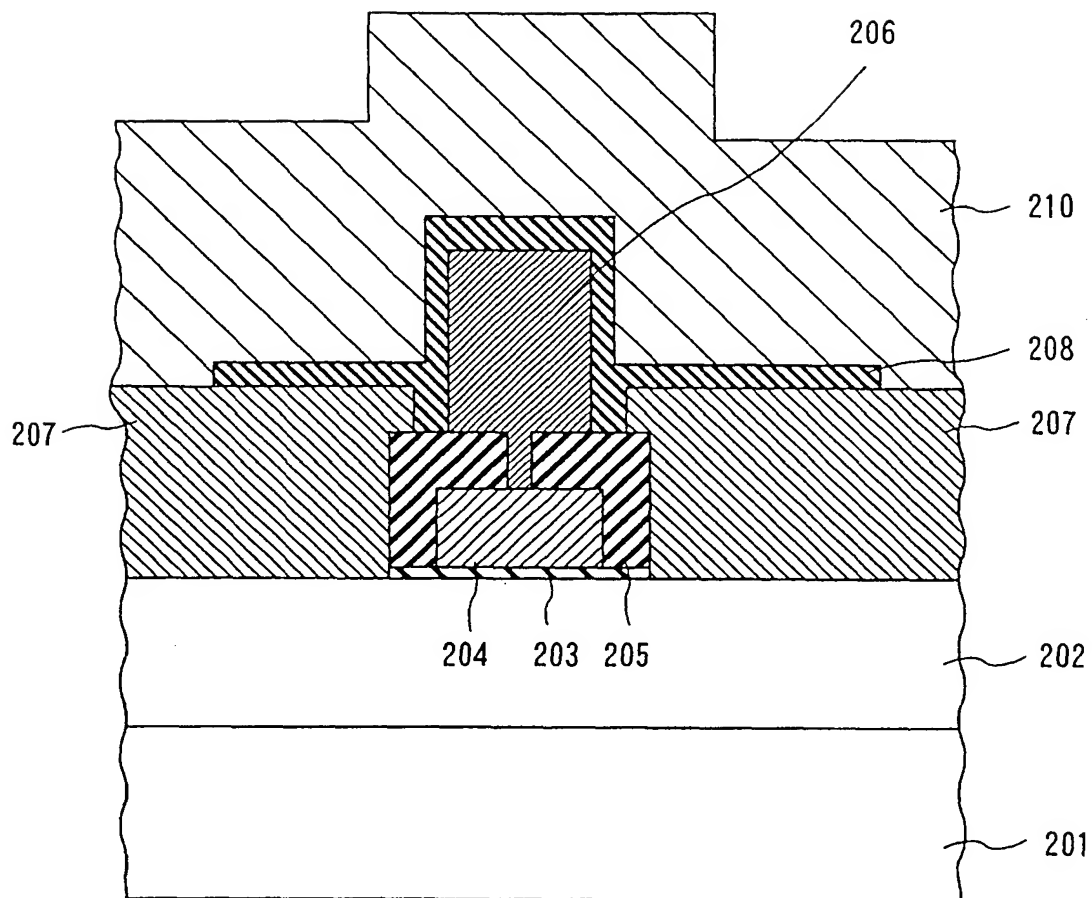


FIG. 5

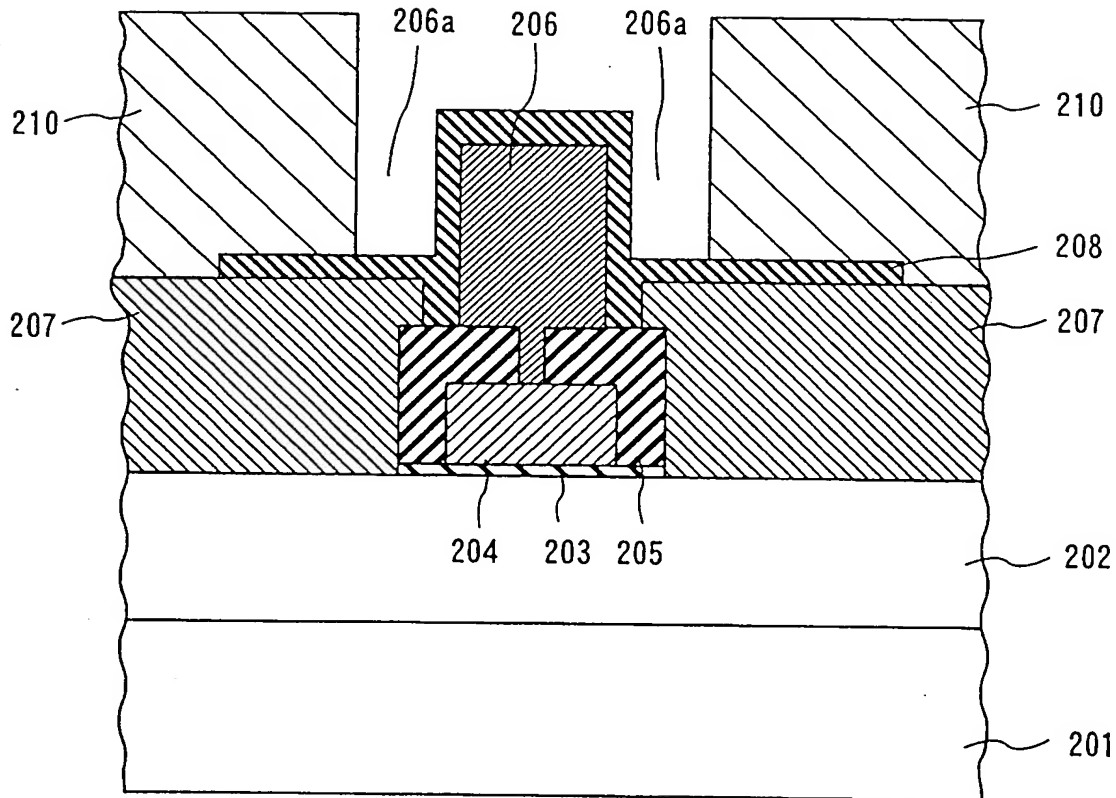


FIG. 6

7/26

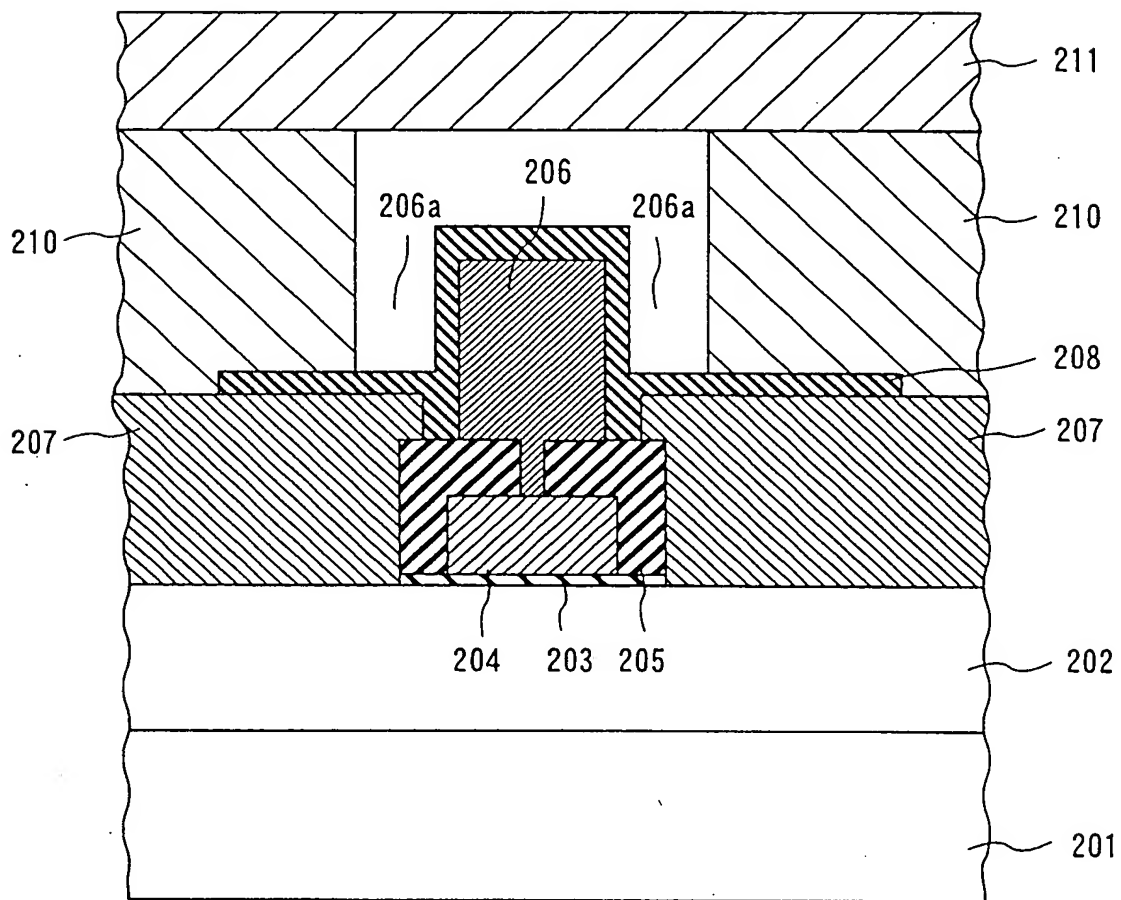


FIG. 7

8/26

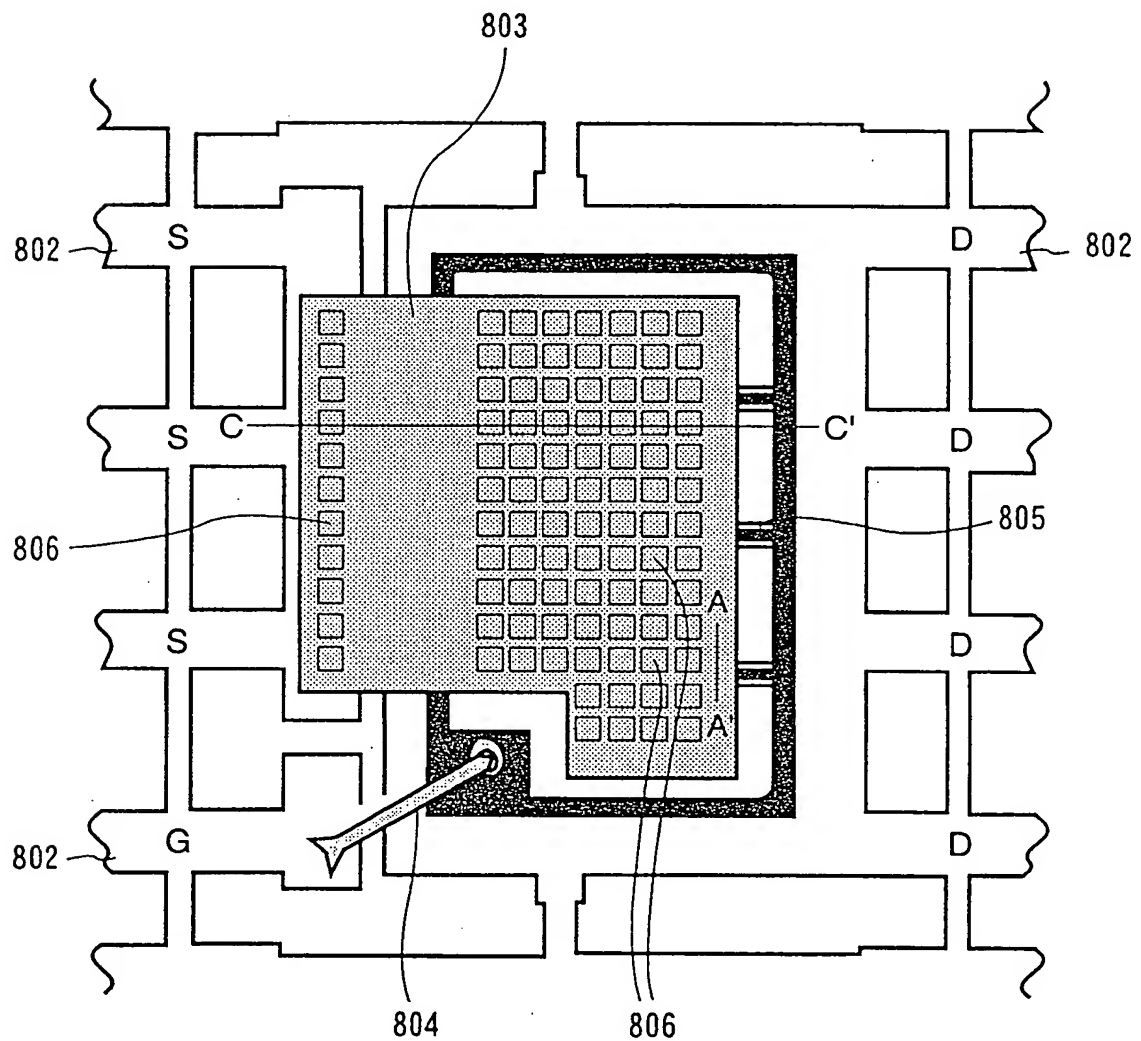


FIG. 8

9/26

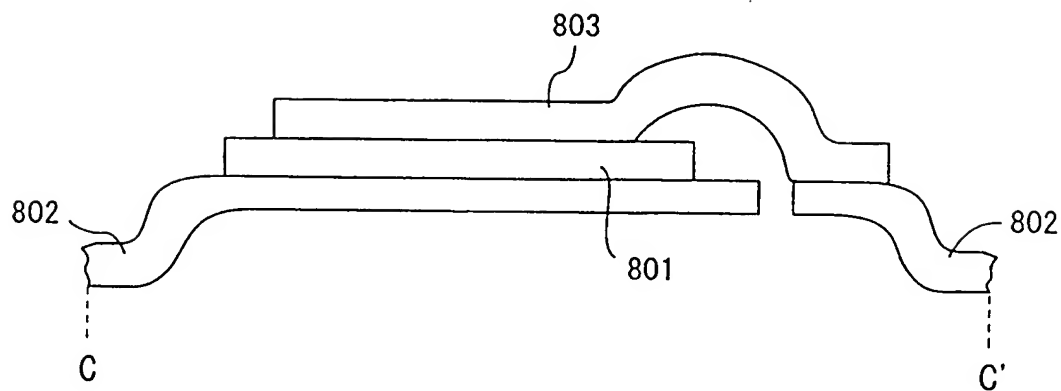


FIG. 9

10/26

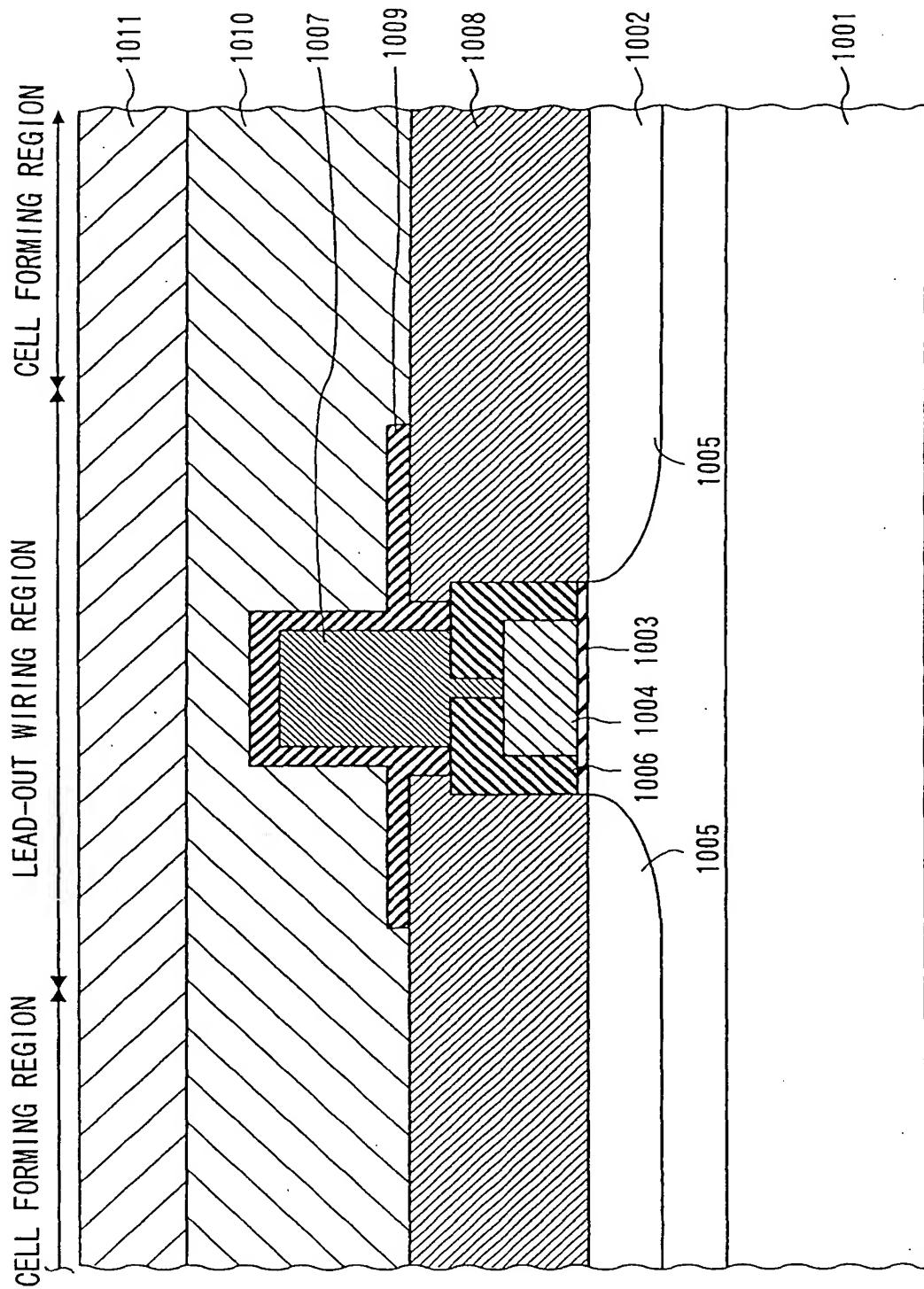


FIG. 10

OBLON, SPIVAK, ET AL
DOCKET # 239801US2
INV: Takahiro KAWANO, et al.
SHEET 11 OF 26

11/26

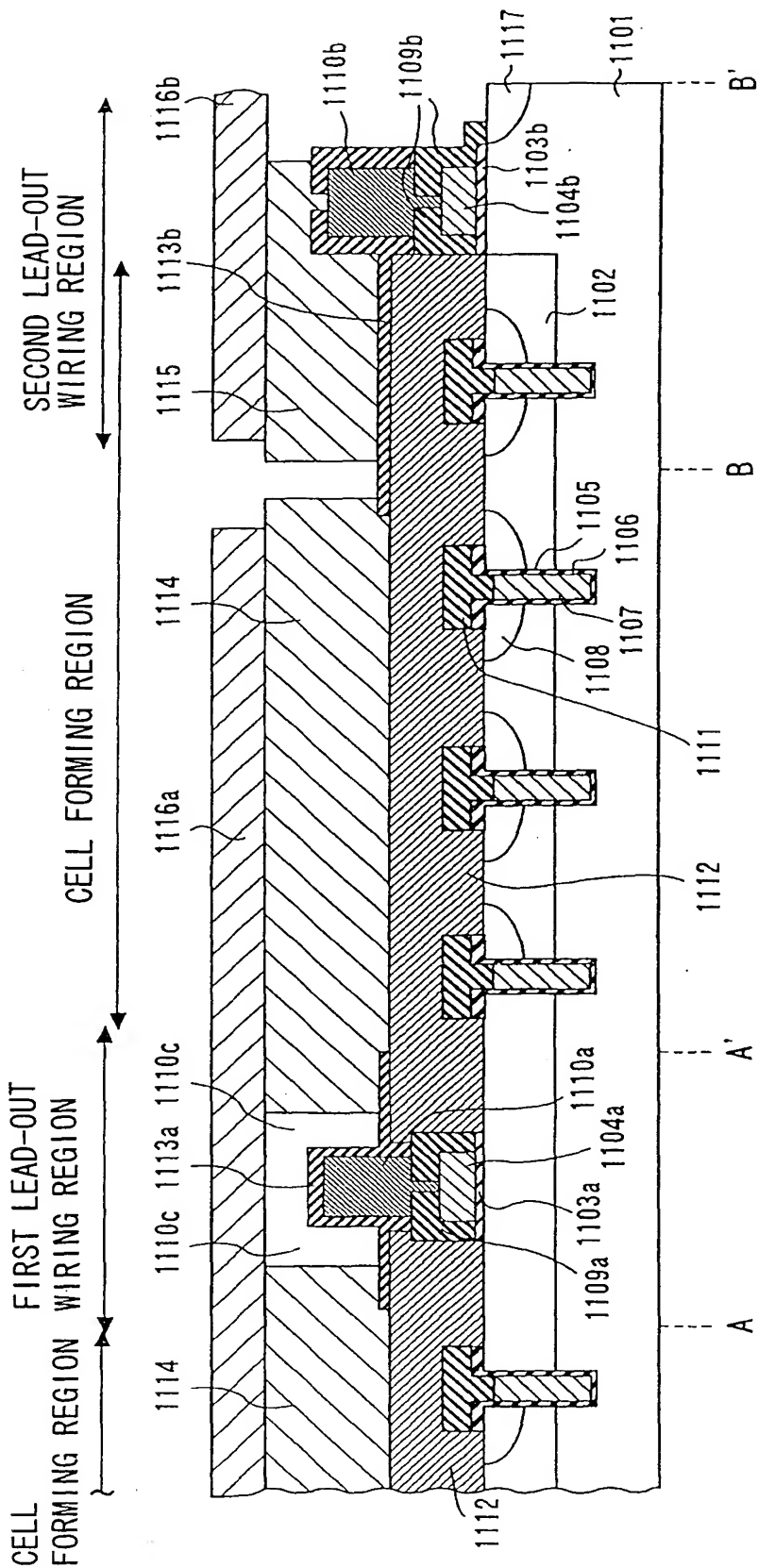


FIG.

12/26

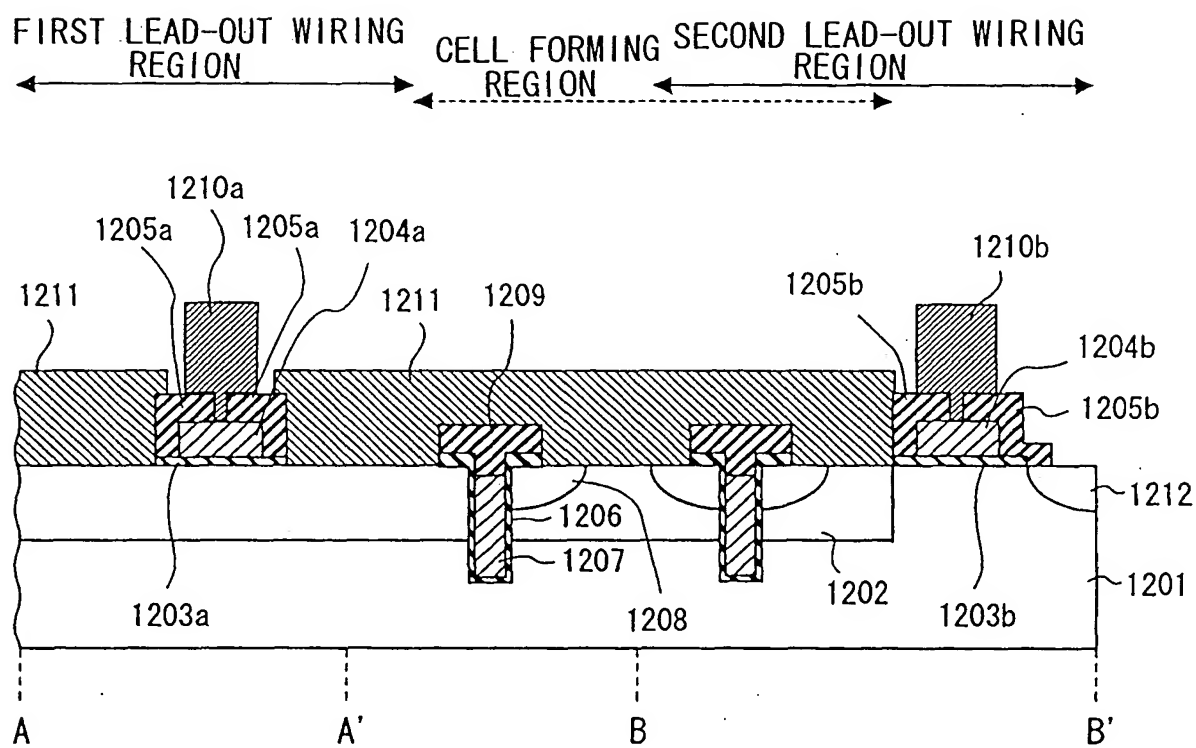


FIG. 12

13/26

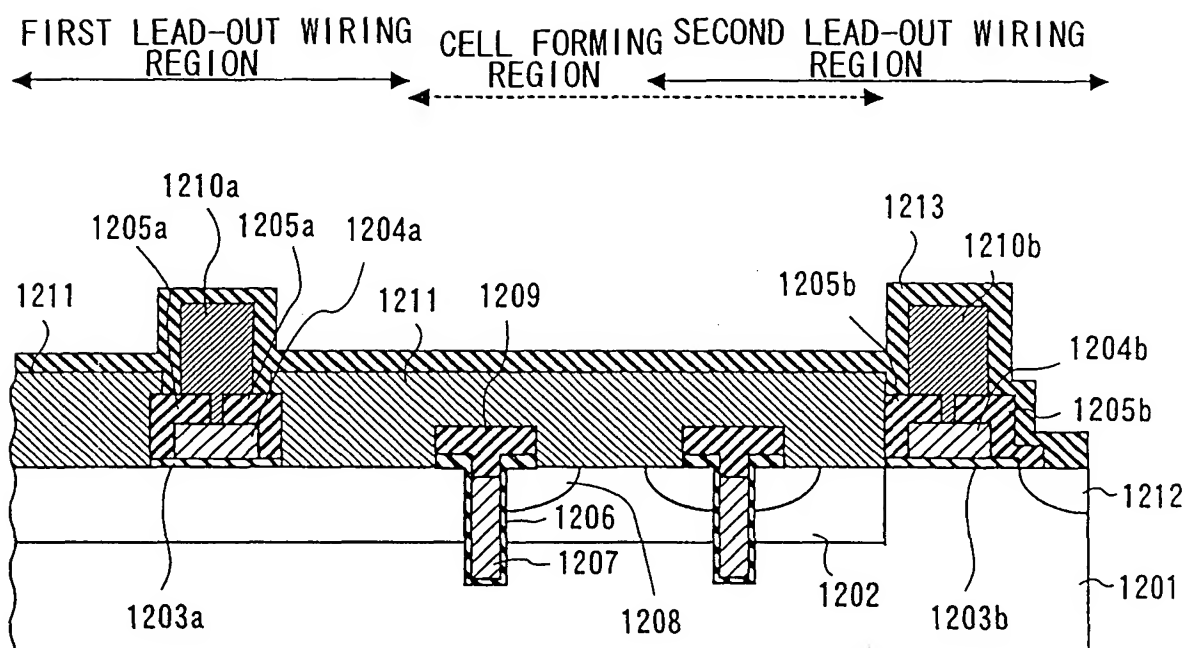


FIG. 13

14/26

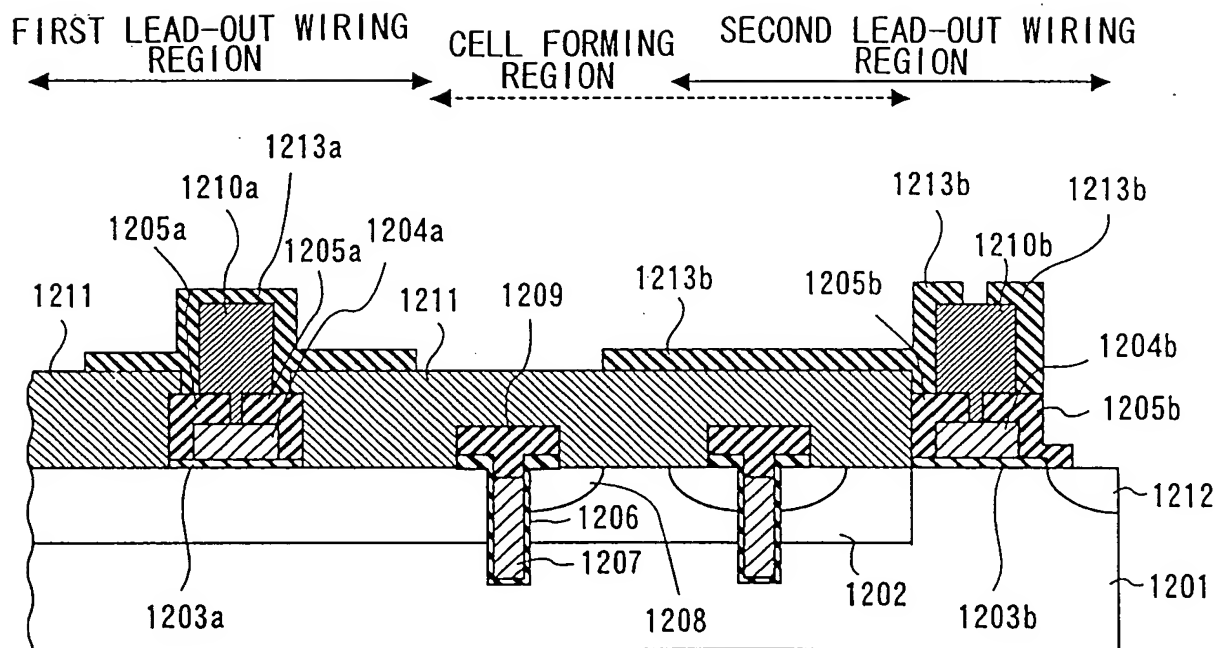


FIG. 14

15/26

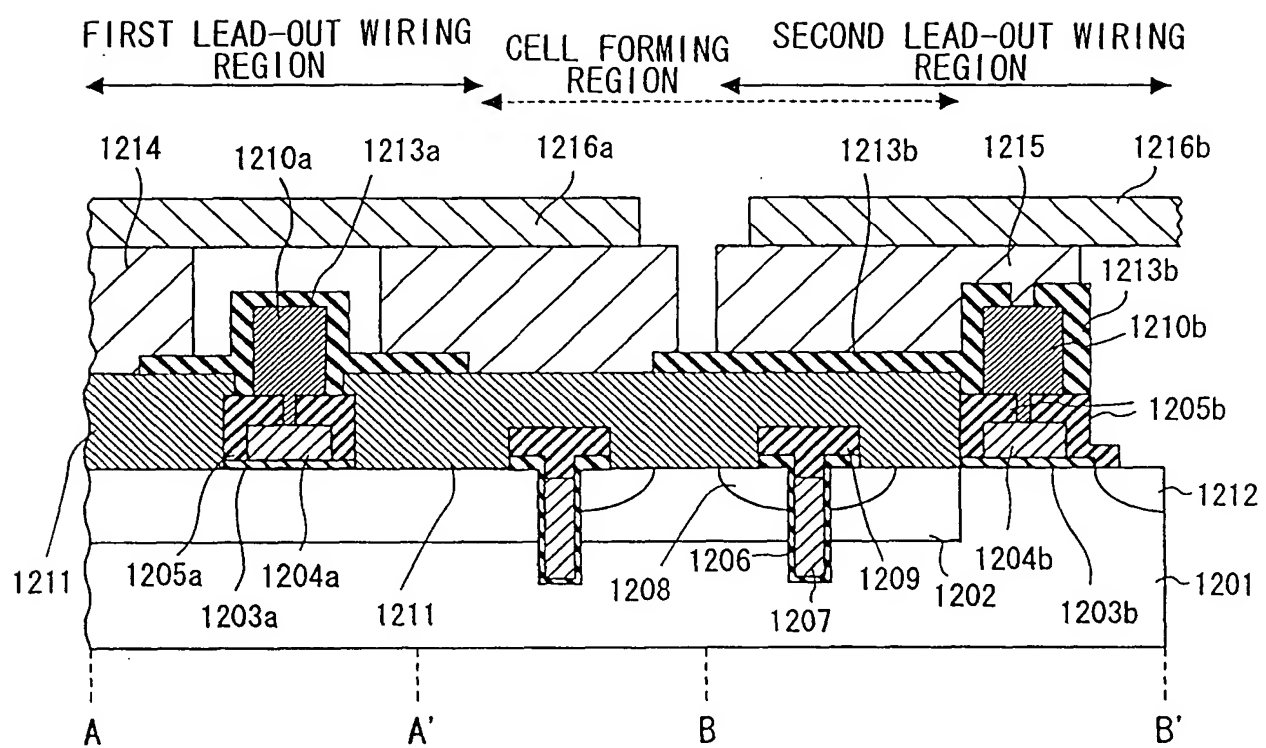


FIG. 15

16/26

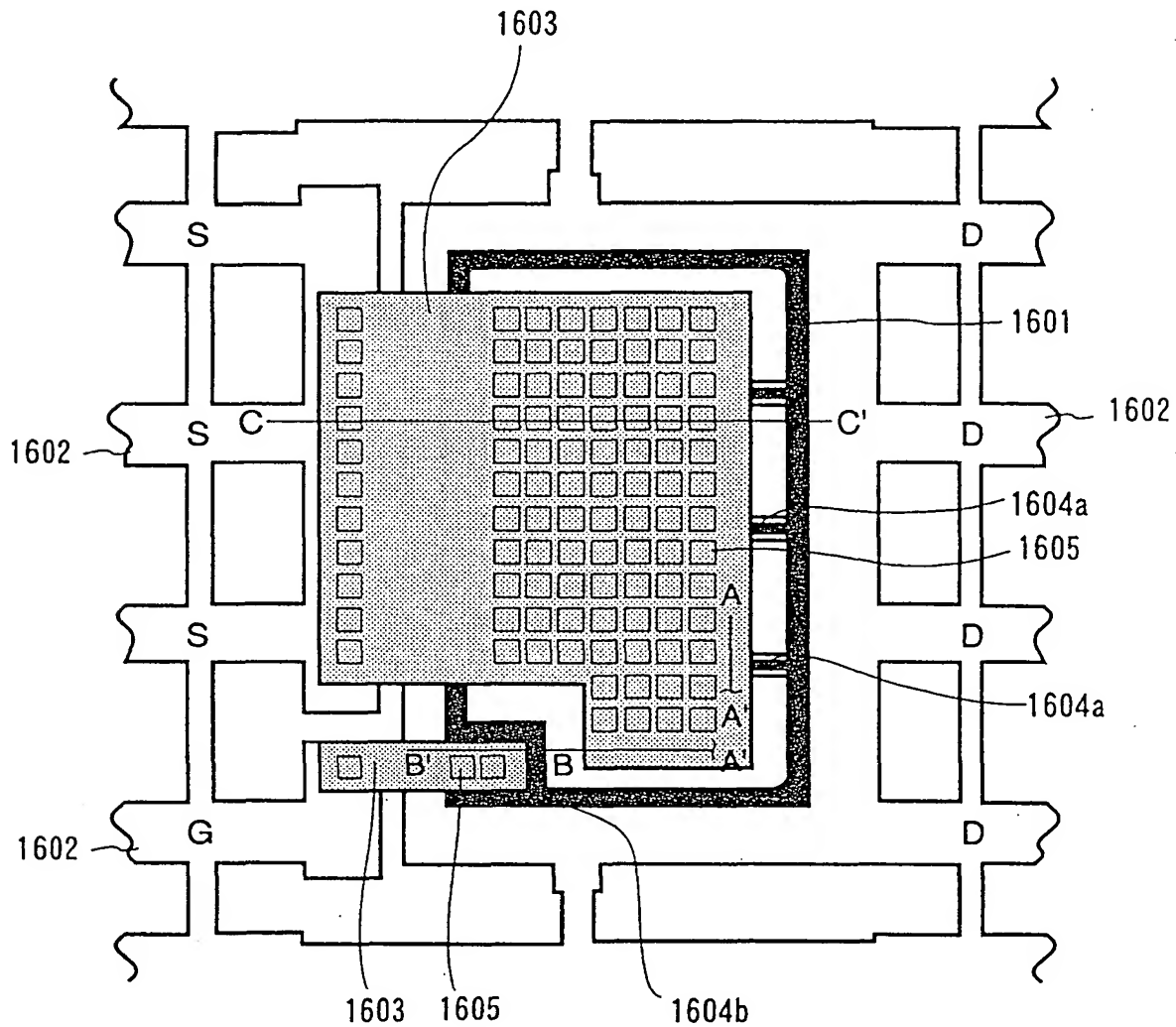


FIG. 16

17/26

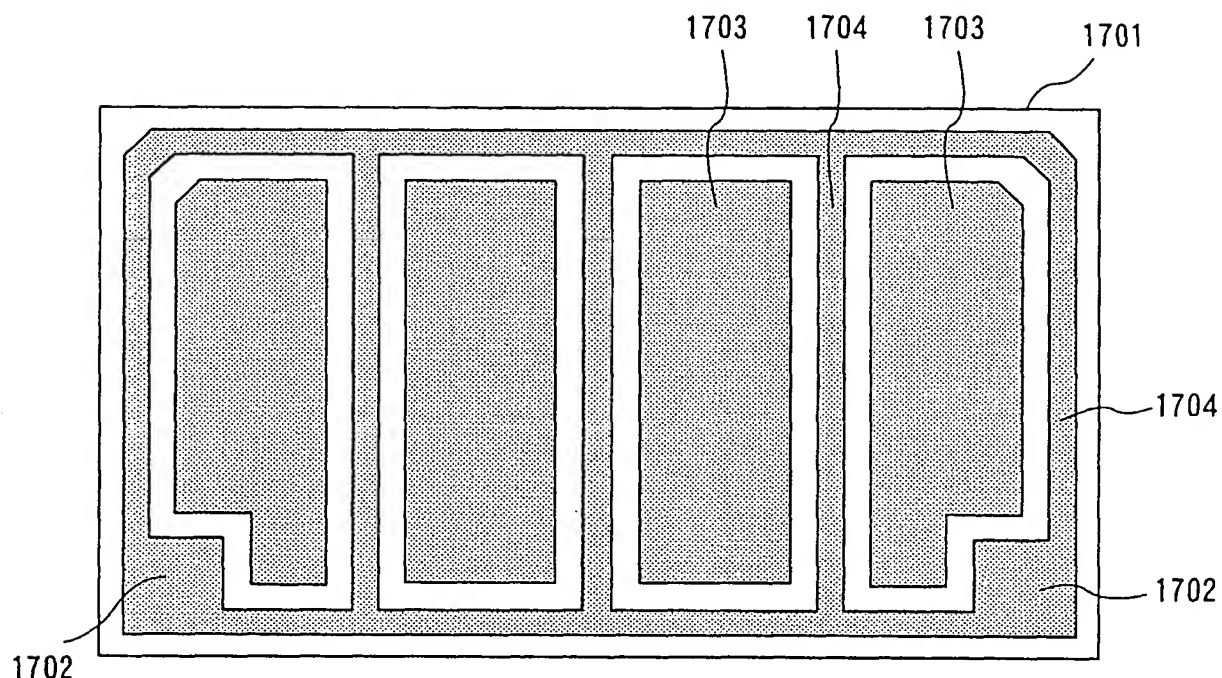


FIG. 17

18/26

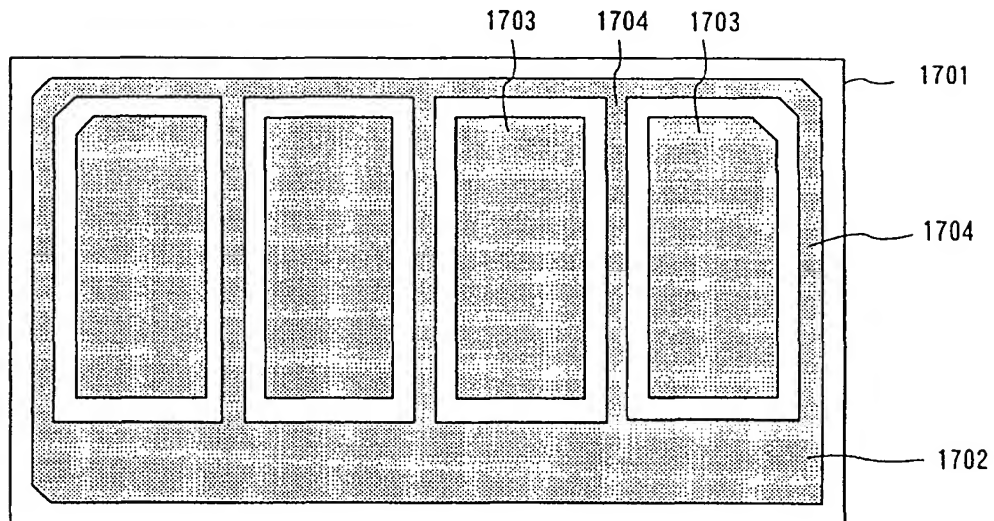


FIG. 18A

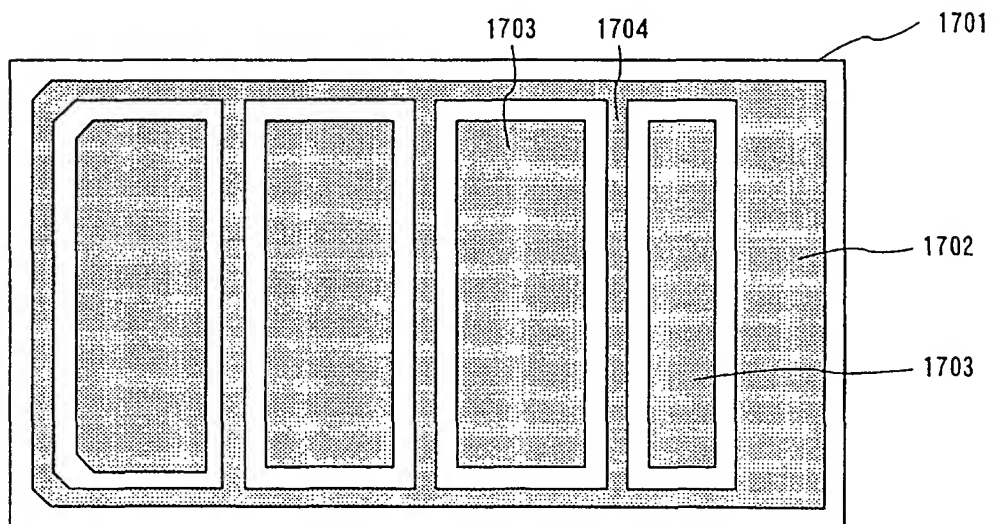


FIG. 18B

19/26

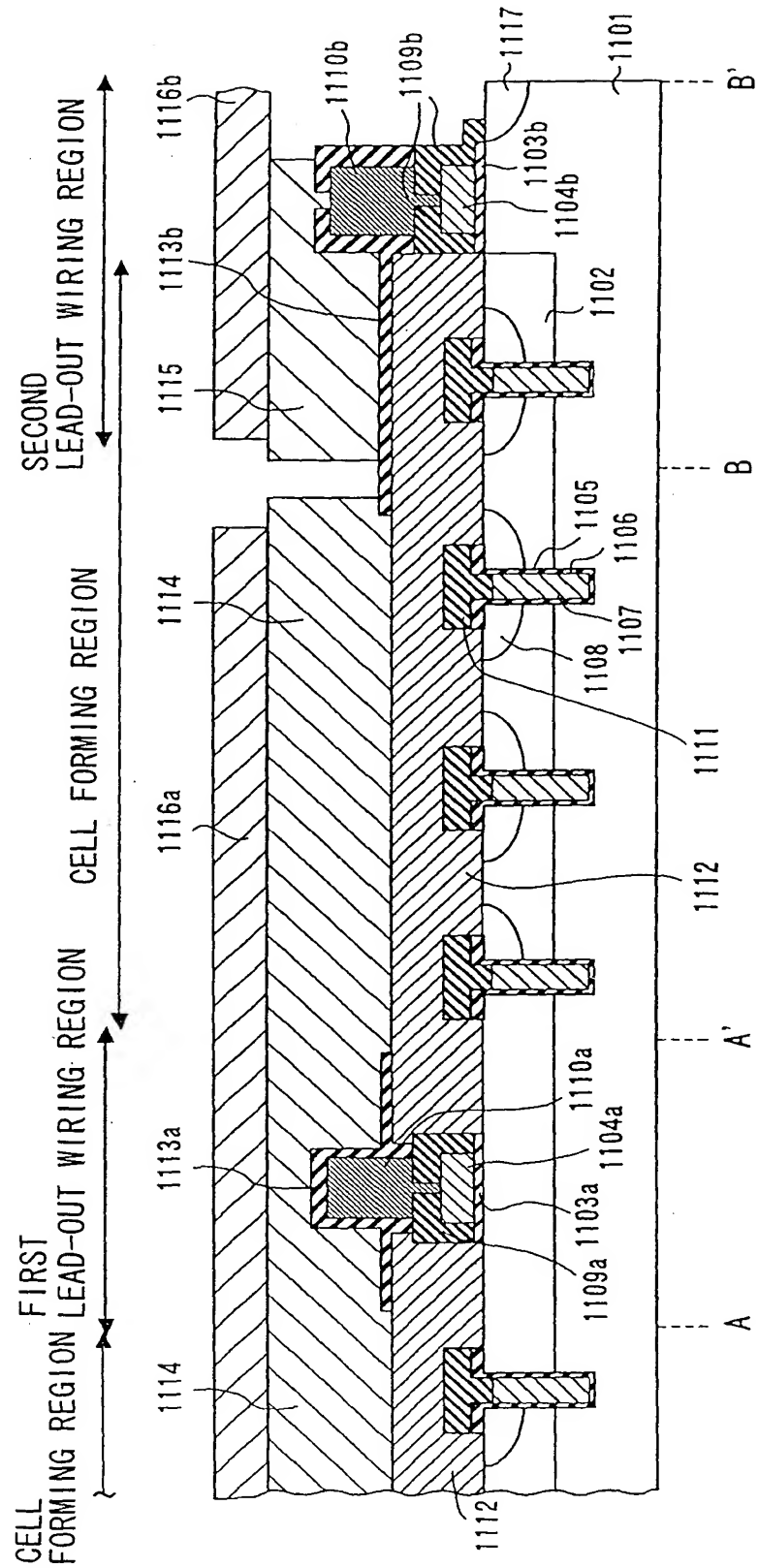


FIG. 19

20/26

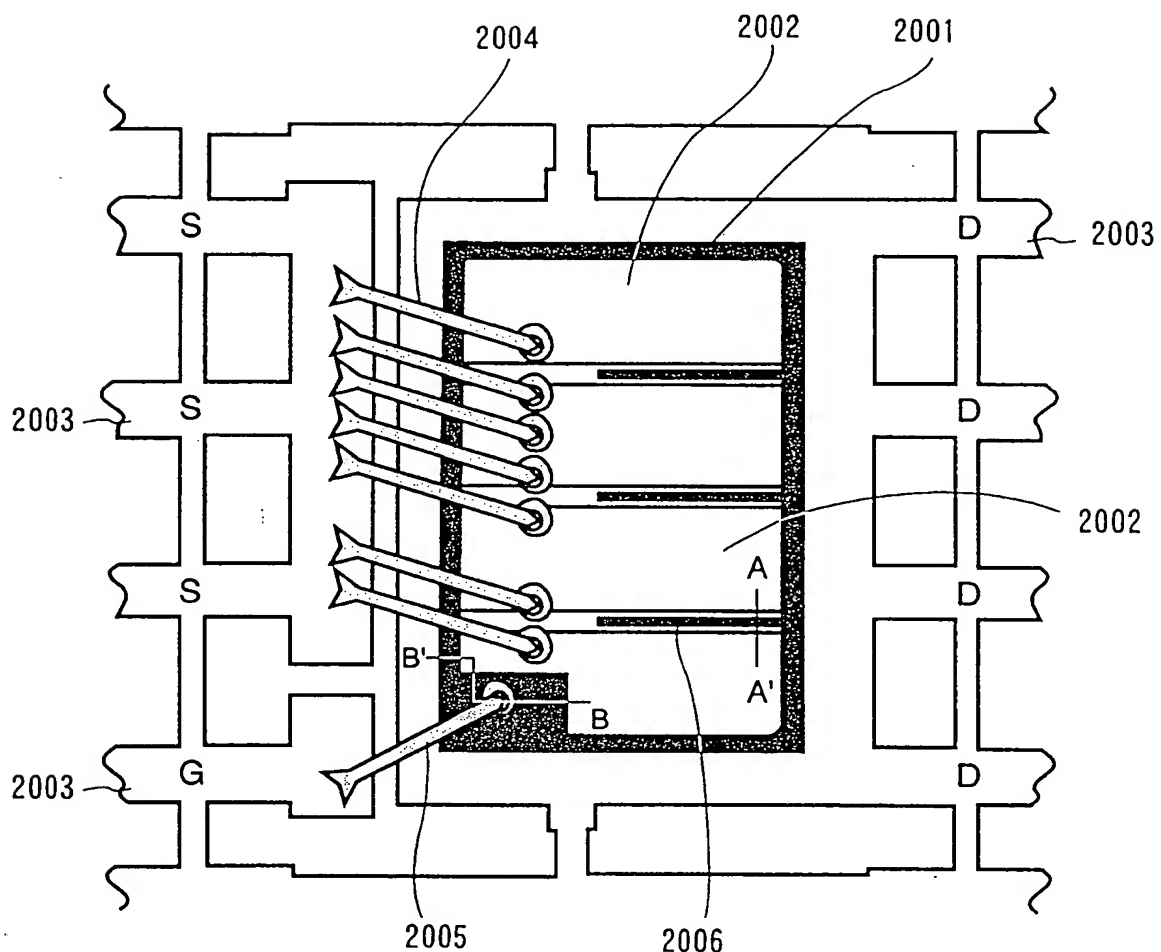


FIG. 20

21/26

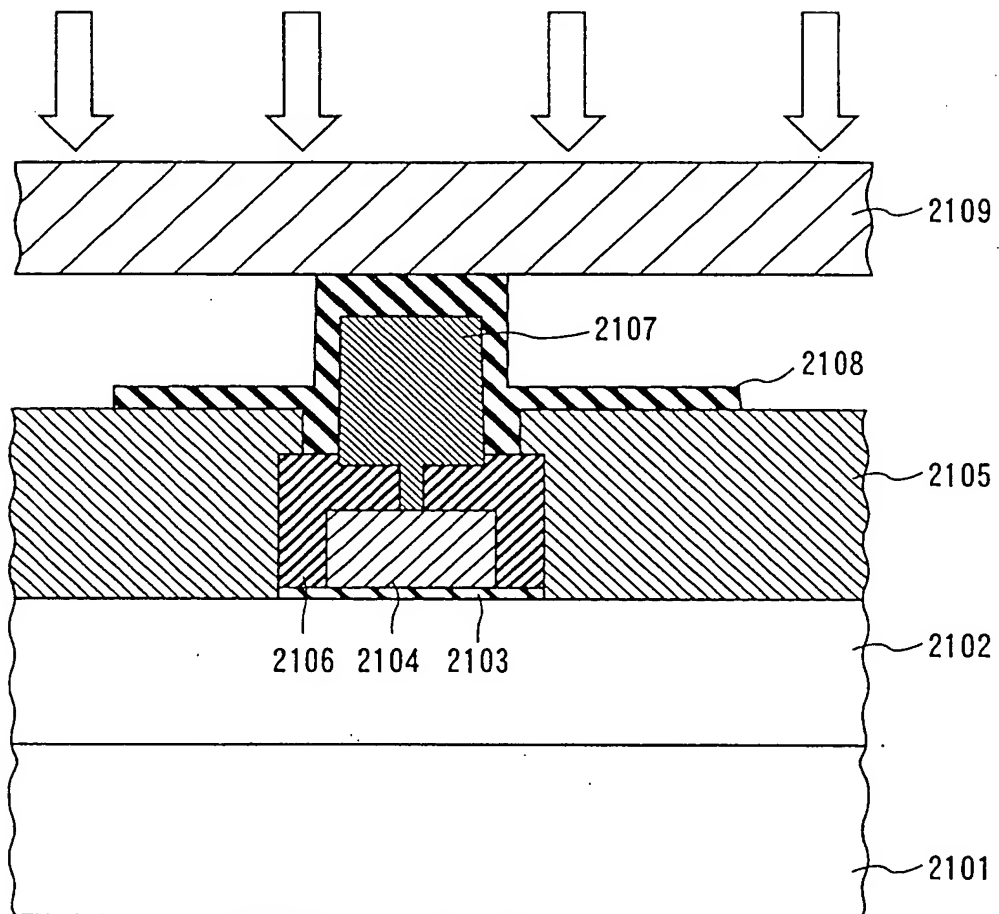


FIG. 21

22/26

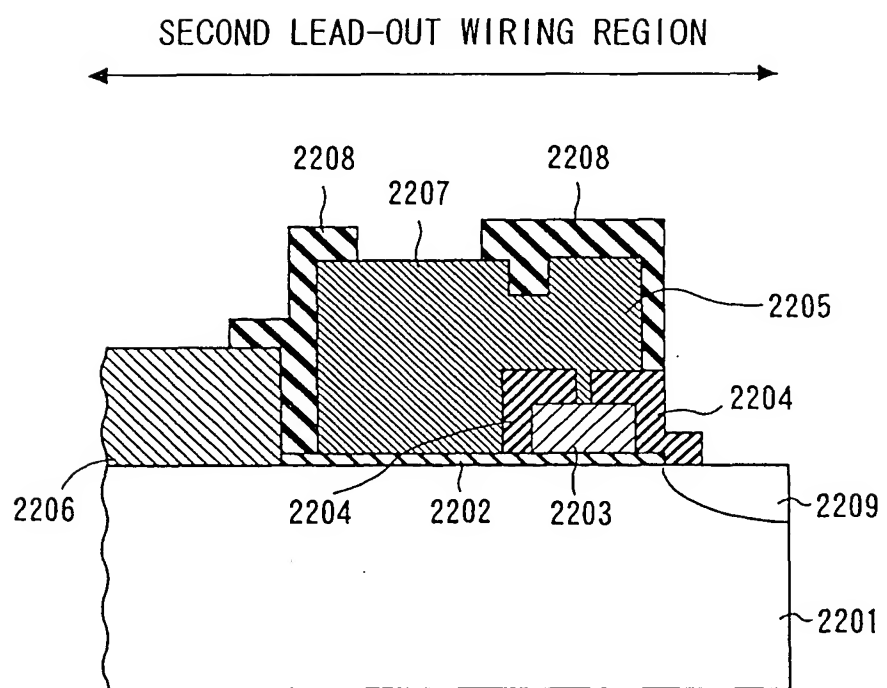


FIG. 22

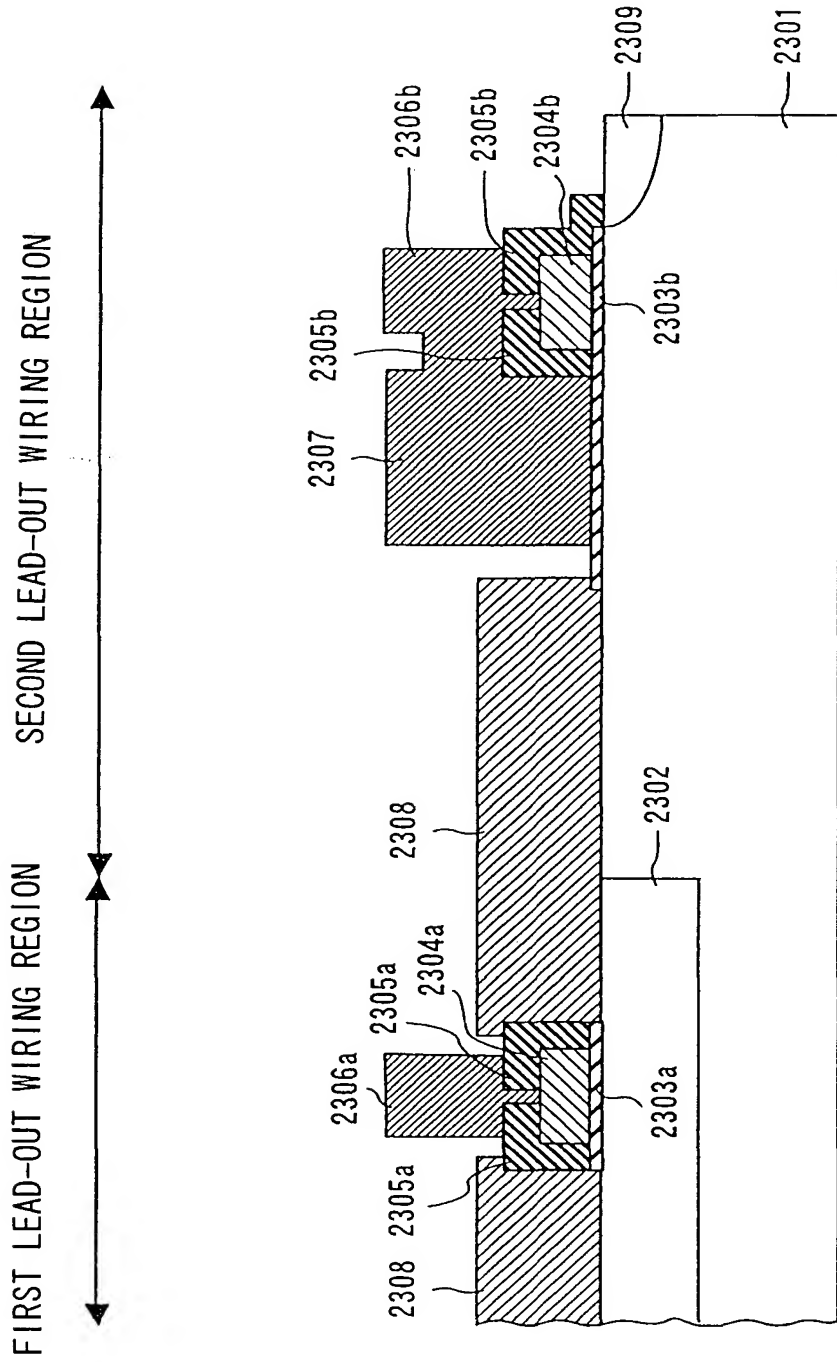


FIG. 23

24/26

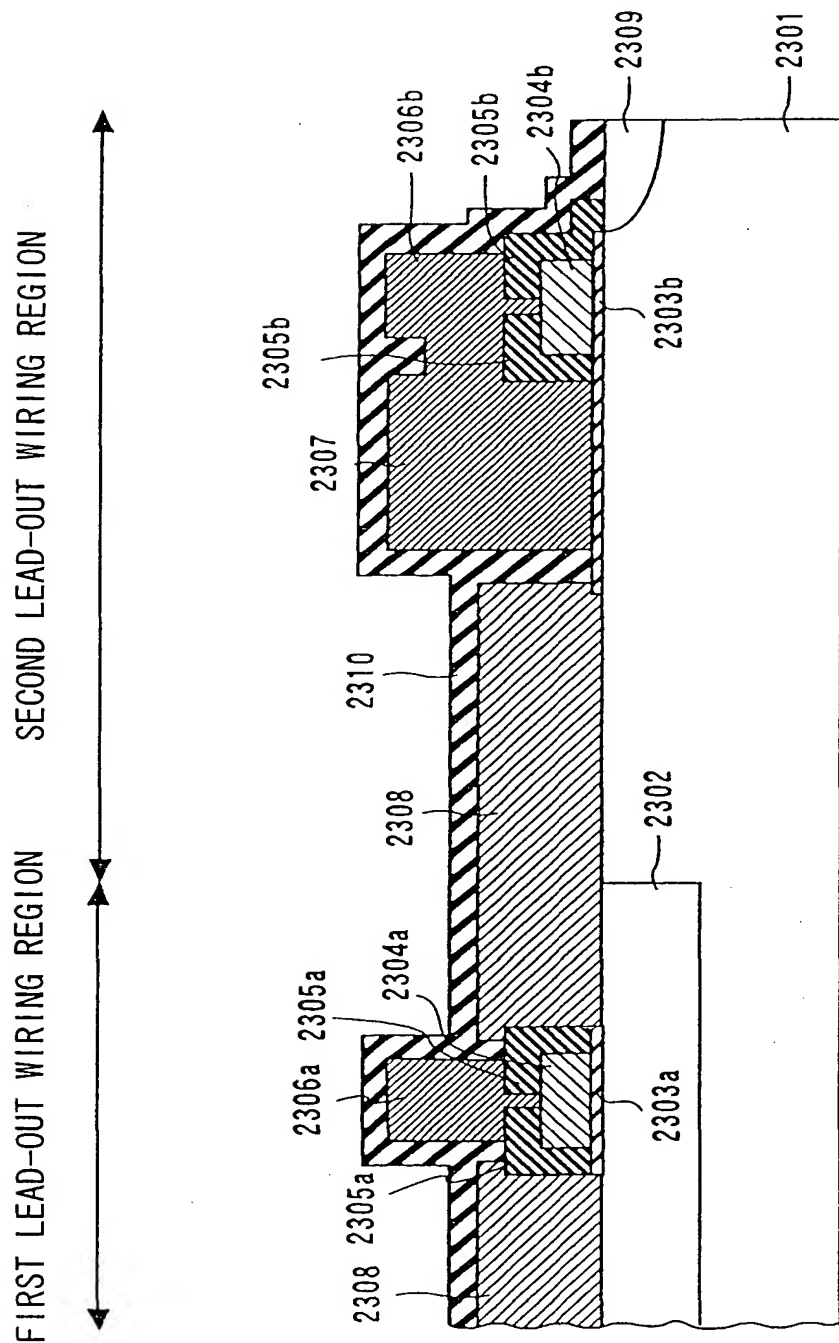


FIG. 24

25/26

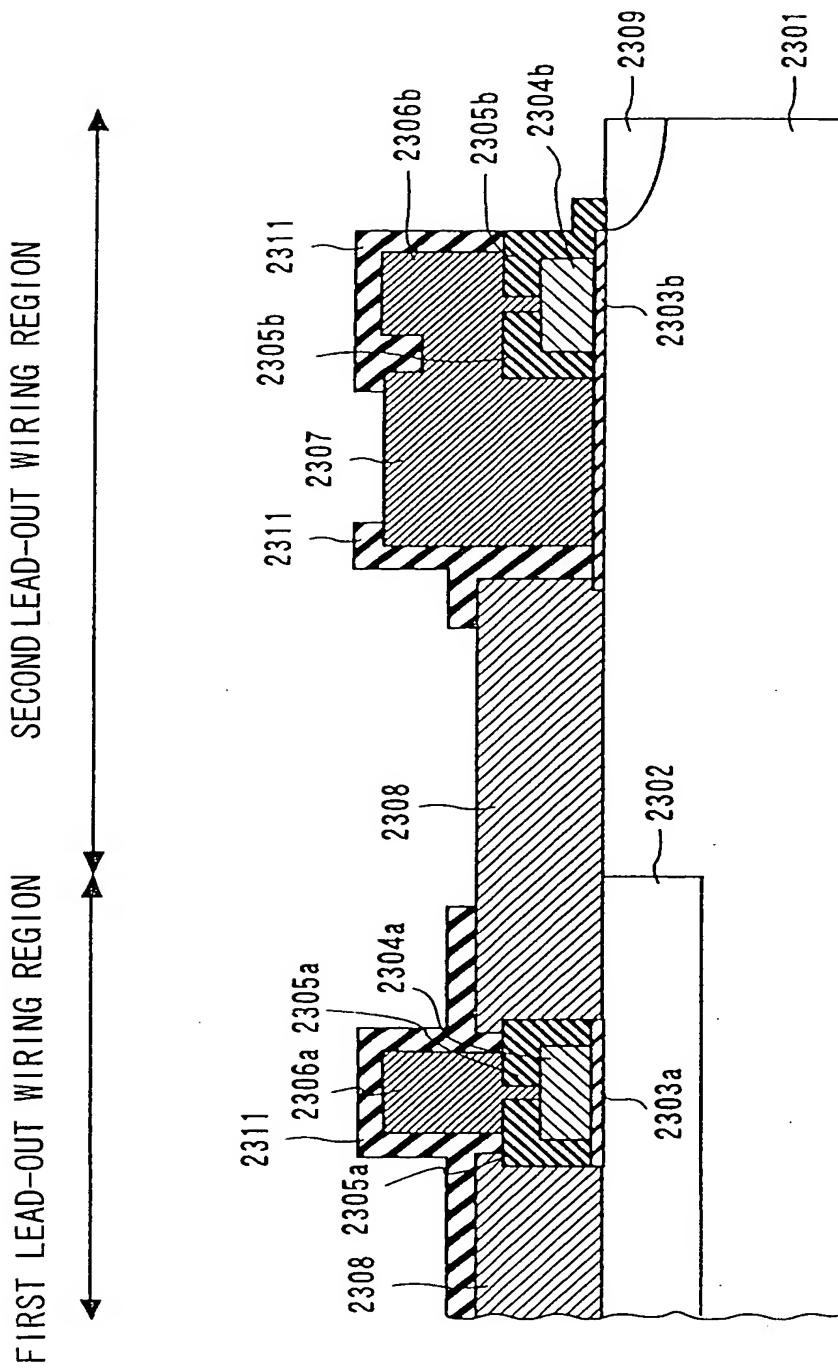


FIG. 25

26/26

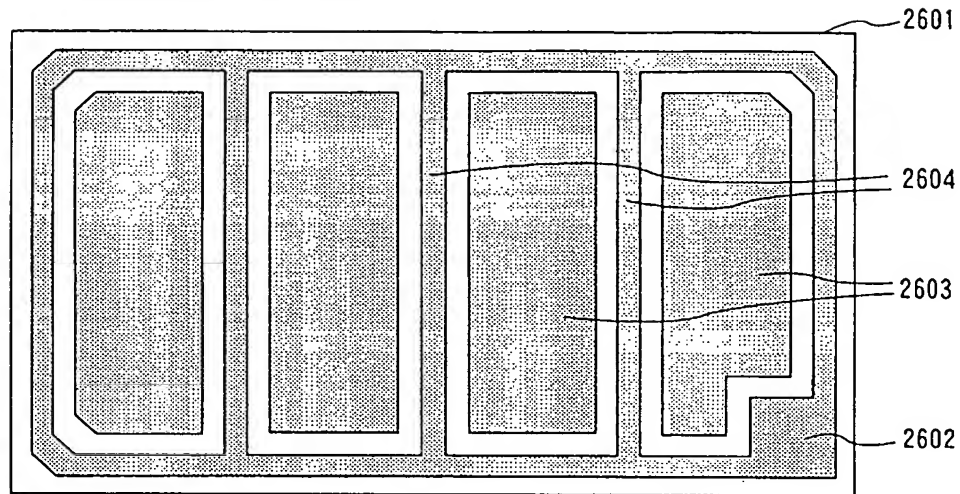


FIG. 26A

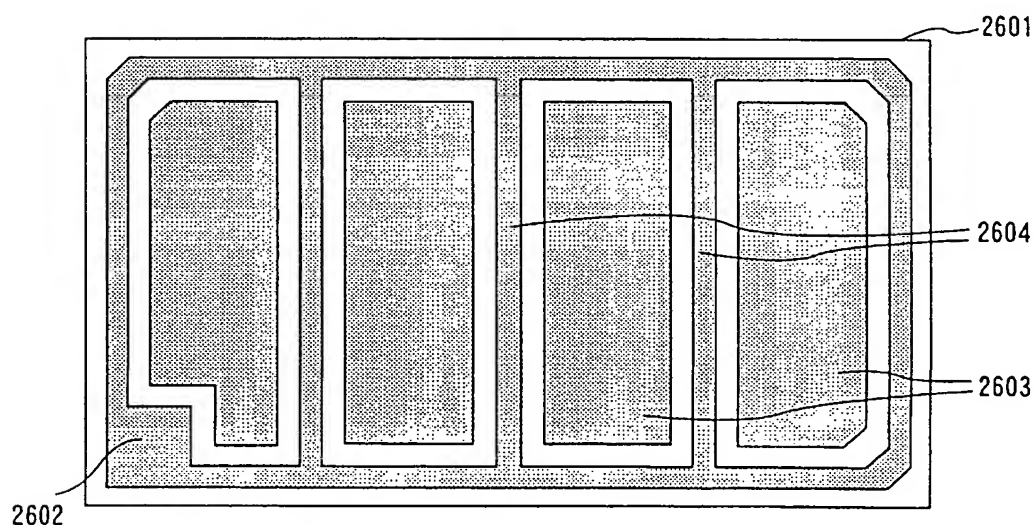


FIG. 26B